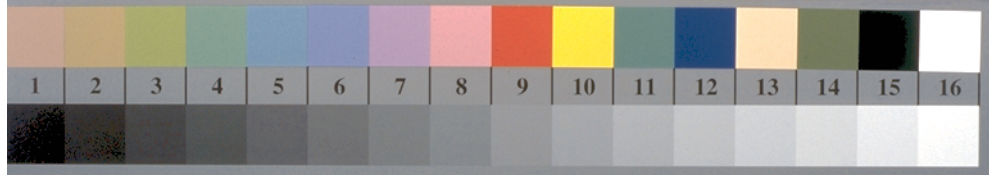
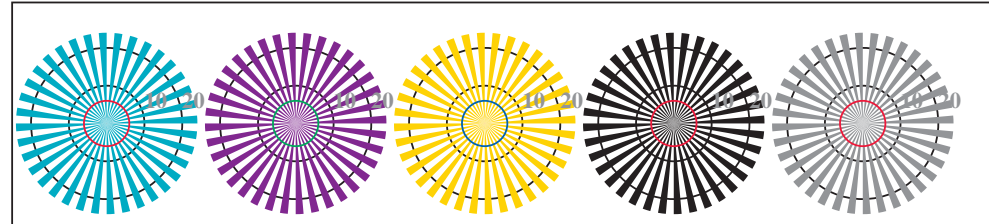


http://farbe.li.tu-berlin.de/TI93/TI93L0NP.PDF / .PS; Output di trasferimento
N: nessuna linearizzazione 3D (OL) nel file (F) o PS-startup (S), pagine 2/2

vedi file simili: http://farbe.li.tu-berlin.de/TI93/TI93.HTM
Informazioni tecniche: http://www.ps.bam.de o http://130.149.60.45/~farbmetrik

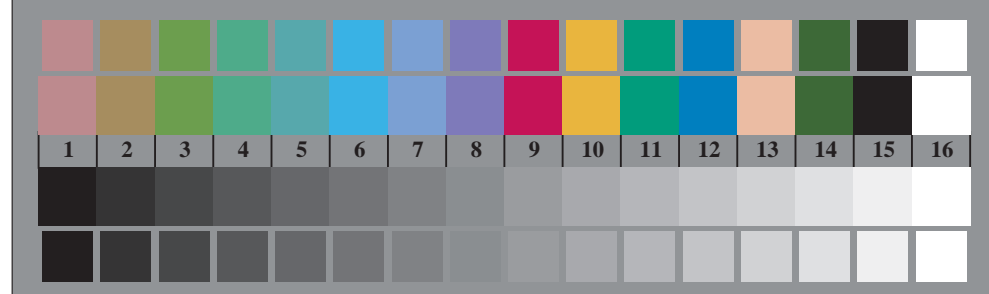


TI930-3, Fig. B1We: motivo floreale, 14 prova colori CIE i 2 + 16 grigio passi (sf); ; PS operator 4 colorimage



reticoli radiali W-C_e reticoli radiali W-M_e reticoli radiali W-Y_e reticoli radiali W-N reticoli radiali W-Z

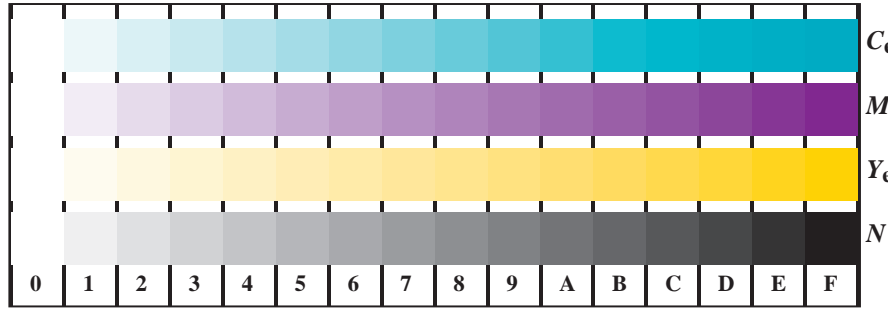
TI930-5, Fig. B2We: reticoli radiali W-C_e; W-M_e; W-Y_e; W-N; PS operator rgb->rgb_e setrgbcolor



TI930-7, Fig. B3We: 14 prova colori CIE i 2 + 16 grigio passi (sf); rgb/cmy0->rgb_e setrgbcolor



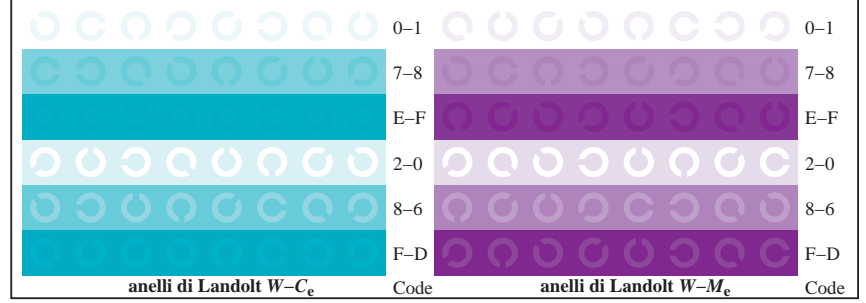
Grafico TUB-TI93; 2(ISO/IEC 15775 & ISO/IEC TR 24705)
Tavola dei colori cromatici CMY, 3D=0, de=1, cmyk



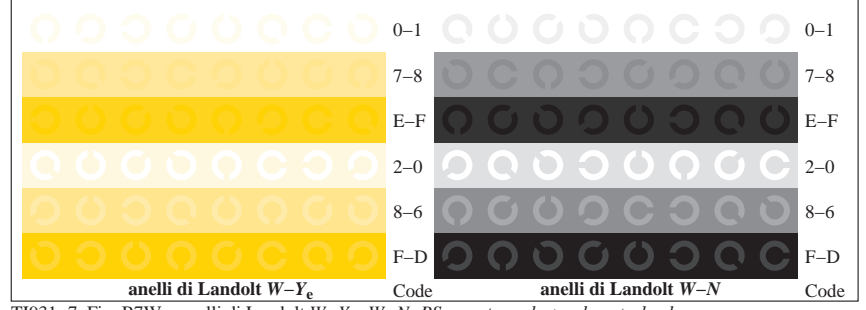
TI931-1, Fig. B4We: 16 equidistante passi W-C_e; W-M_e; W-Y_e; W-N; rgb/cmy0->rgb_e setrgbcolor

+-:	lmno	pqrs	tuvw
xyz;	hijk	lmno	lmno
tuvw	defg	hijk	hijk
pqrs	!abc	+-:	+-:
lmno	xyz;	tuvw	tuvw
hijk	tuvw	defg	defg
defg	pqrs	!abc	!abc
!abc	8 N C _e M _e Y _e Z	6 N C _e M _e Y _e Z	4 N C _e M _e Y _e Z
10 N C _e M _e Y _e Z			

TI931-3, Fig. B5We: codice i Landolt anelli N; C_e; M_e; Y_e; Z; PS operator rgb->rgb_e setrgbcolor



TI931-5, Fig. B6We: anelli di Landolt W-C_e; W-M_e; PS operator rgb->rgb_e setrgbcolor



TI931-7, Fig. B7We: anelli di Landolt W-Y_e; W-N; PS operator rgb->rgb_e setrgbcolor

iscrizione TUB: 20160501-TI93/TI93L0NP.PDF / .PS
Applicazione per la misura dell'output della stampa di offset, separazionecmy6 (CMYK)

TUB materiale: code=rh4ta
code=cmy6

Input: rgb/cmyk -> rgb_e
Output: trasferire a cmyk_e